

Российский Государственный Геологоразведочный Университет

Геологический факультет

Кафедра сейсмических и скважинных методов

Отчет по практике

Преподаватель: доцент
Бибаусов А.В.

Бригада 1: Панов В 3
Обчинников Э 5
Башмаков Е 3
Коршакин С 3
Зигандасов А 3
Раманов А 3
Харимов М 3
Баранова А 5

Бригада 2: Смолинов В. Б
Попова И. 5
Ганичев А. 4
Чарева Ю. 4
Дюков Г. 3
Деминин Д. 3
Селезнев М. 3
Платонов В 3

Полигон РГГРУ 2008

Введение.

Подготовка геодезической практики по сейсморазведке, проводившейся на Сергиево-Посадской Геофизике в период со 2 по 5 июня, стала для меня получение навыков практическим методам и квалификации ради, что подразумевало студентами - геофизиками Загородов морематический начальный курс сейсморазведки, прослушанный на 3 курсе, а также отработанных технологий проведения сейсморазведочных работ.

Практические сейсморазведочные работы проводятся на современном оборудовании с применением нормативных ГВМ и специализированного программного обеспечения, широко использующегося в науке и промышленности сейсморазведки.

Учебная практика способствует автоматизации, расширению степени обобщения данных, освоению интерпретации сейсморазведочных основных методов сейсморазведки, морематического программного обеспечения.

В ходе Учебной практики по сейсморазведке перед студентами ставится задачи:

- Понятие практических навыков ради с сейсморазведочным аппаратуру и программным обеспечением.
- Оработка и интерпретация измерений на предных сейсмограммах и представление о развитии инженерной сейсморазведки и методах проведения сейсморазведочных работ.

Целью учебной практики является совершенствование представления и подготовка инженер-геофизиков в Российской Государственной Геологоразведочной Университете.

Геологический отчёкт.

Загорский учебный полигон Российского Государственного Геологоразведочного Университета имени С. Орджоникидзе расположены на 64-ом километре Ярославского шоссе, в 9 километрах к юго-западу от города Загорск Московской области. На полигоне в районе 5 на 5 километров, проводятся практические работы.

Почвы района дерновые, средне- и сильно подзолистые на глине и суглинках. В почвах распространено лугово-перегнойное почвообразование. Первые 50 метров верхних слоев представлены Кстом (семеновский ярус), Кст-сп (коньинский и сантонский ярусы), N, D, Q_{II} отложениями.

Выходы семеновских отложений обрамляют многие водотоки, и всегда, где они имеются, они дают знать о себе родниками. Эти отложения состоят из мелкозернистых, кварцевых, слюдистых песков с глауконитовыми зернами. Их мощность составляет 25 м.

Коньин-Сантонская толща, распространенная на полигоне, сложена опокой светло-серого и пепловатого цвета, состоящей из мелких лигнозея и гнейза, немного различающихся по палеонтологическим признакам и окраске. Имеются тончайшие блески слюд и зёрна глауконита. Родина разделена трещинами с бурковатой ржавой огорожкой. Местами имеются прослои светлой пылеватой глины толщиной 2-5 см. Мощность этого слоя 15 м.

N, D, Q_{II} отложения в районе практики представлены весьма обширно.

В палеогеновые отложения входит Окская морена: на аллювиально-долиноглынистых песках, мощности которых

составляет порядка 6 м, залегают 5-и метровые суглиники серого и зеленовато-серого с включениями обломков выветреных коньяк-салютских опок, а также Московская мерена. В её 10-12 метровом пласте встречаются глина и глинистые суглиники плотные с включением галок и валунов. План мерены обтекает водоизделия, склоны долин и образуют узкими надпойменными аллювиальными террасами.

Неогеновые отложения представлены покровными суглинками никулинского членения; в окрестностях поимы они плоскообразно перекрывают все элементы рельефа, кроме первой и второй, и поименных террас. Порода представляет собой суглиник темно-бурый, лесной, нередко макропористый.

Верхняя часть горизонта изменена современными почвообразовательными процессами, нижняя его часть пронизана трещинами с каймой оподзоливания, а мощность покровных суглинков примерно равна 1-1,5 м.

Четвертичные отложения представляют собой аллювий первой и второй надпойменных террас. Аллювий первой надпойменной террасы представлен песками серыми, темно- и среднезернистыми, нередко иловатыми, включают иллюзы супесей и суглинков иловатых темно-серого цвета. Их мощность местами выше 10 м. Во второй надпойменной террасе выделяются пески средне- и крупнозернистые, темного, ржаво- и буро-коричневого цвета, имеются включения гравия и небольшие галки, а также иллюзы суглинков. Общая мощность отложений местами выше 5 м. Более высоким скоростям соответствуют менее пористые породы с большей плотностью, а менее плотным породам соответствуют маленькие скорости.

Методика сейсморазведочных работ

В понятие методики полевых работ включают такие элементы сейсморазведки, как система наблюдений, сети профилей, условие возбуждения и приема колебаний, параметры их записи.

Системой наблюдений наряда включают взаимное расположение пунктов возбуждения (ПВ) и пунктов приема (ПП) колебаний. Когда ПВ и ПП расположены вдоль одной линии (профиля), имеет место одномерная сейсморазведка, которую наряда называют линейной или профильной.

При получении полевых материалов наиболее трудоемкой операцией является подготовка сейсмической расстановки, состоящая в раскладывании по профилю кабельных линий и установке вдоль них множества сейсмоприемников, подключаемых к линии.

Перед началом работ необходимо выполнить проверку сейсмоприемников на идентичность. Для этого все приемники вбиваю в недалеко друг от друга, в метре от приемников помещаем ПВ колебаний. Все приемники должны зарегистрировать идентичный сигнал.

После перед началом работ устанавливается уровень усиления для того, чтобы выбрать оптимальный диапазон измерений и избежать влияние посторонних шумов.

В аппаратуре цифровой записи необходимо иметь возможность выбора интервала дискретизации сейсмических колебаний. Чем выше их частотный спектр, тем меньше должна быть интервал Δt , т.е. большая частота дискретизации $f_d = 1/\Delta t$. Однако при этом возрастают объем хранилищ и переработка данных числовых массивов, что сказывается на стоимости радио. Выбор рационального интервала (периода) дискретизации в зависимости от спектральных особенностей регистрируемых волн производится из ряда фиксированных значений - $1/4, 1/2, 1, 2, 4$ мс. От величины Δt зависит предельная частота f_d записи сейсмических колебаний, которая устанавливается антислейсинговым фильтром. В одних сейсмодатчиковых системах частота f_d фиксирована для каждого значения Δt , в других возможен её выбор из двух различных значений - $f_d 1$ или $f_d 2$.

Аппаратура сейсморазведочных работ

Сейсмоприемник - устройство, которое преобразует механические колебания почвы в звуковые напряжения. В најелной сейсморазведке обычно применяются индукционные сейсмоприемники, в которых используется явление инерции.

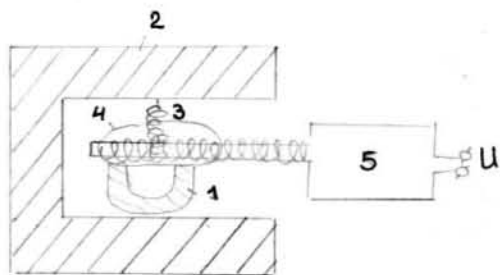


рис. . Схема индукционного сейсмоприемника

1 - магнит, 2 - корпус, 3 - пружина, 4 - инертная масса,
5 - электромеханический преобразователь (ЭМП).

Сейсмоприемники подсоединяются к сейсмической станице с помощью сейсмокосса. Мы использовали сейсмокосс с 24 приемниками, расстояние между которыми 2 метра, длина 46 метров. Шаги сейсмокосса можно охватить расстояние в 184 метра. Без переноса сейсмостанции.

Сейсмическая станция состоит из: усилителя, фильтра, ПАК(АЦП) и регистратора. Усилитель пред назначен для приведение динамического диапазона упругих волн к динамическому диапазону аппаратуры. Фильтр освобождает аналоговые, для подавление звуковых волн:

1. гармоники ударной гакомол
2. антиалейинг фильтр - для подавления гакомол, выше частоты Найквиста.

ПАК (АЦП) - преобразователь аналог-код или
аналого-цифровой преобразователь. осуществляют
дискретизацию и квантование сигналов.

Дискретизация проводится по времени сигнала (t),
а квантование - по уровню (A)

Последним устройством аппаратурного канала
является регистратор, в котором сейсмические
колебания записываются на том или иной физи-
ческий носитель.

Ввод и обработка данных производится на
ноутбук с помощью специальных программ.

В качестве источника питания сейсмической
станции и ноутбука используется аккумулятор 24В.

Заключение

На данной практике мы провели сейсморазведочные работы, которые позволили нам построить промежуточную геоморфологическую модель.

В процессе практической практики мы изучали связь с методикой проведения сейсморазведочных работ, а также практическое применение различных методов измерения и использования аппаратуры для сейсморазведочных работ.

Все полученные результаты представлена в виде схематичных и геодиаграмм. Для изображения данных также были использованы такие программы как Geomety и Seis View.

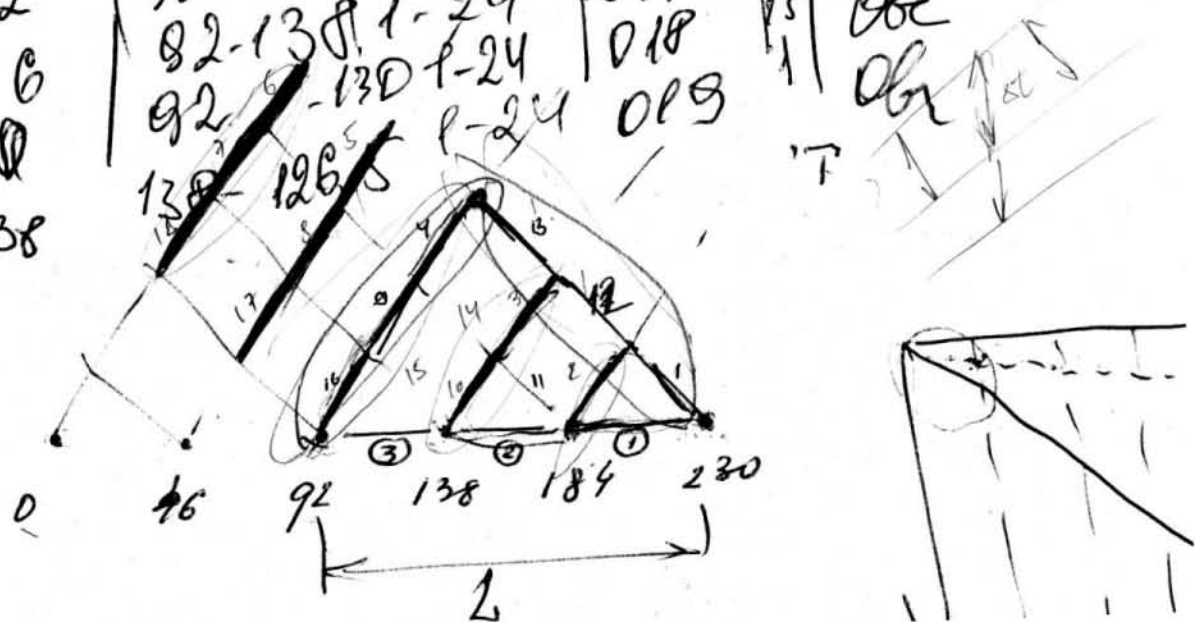
Распределение работ по Габионам показало, что сейсмический метод позволяет определить скрытые в габионах структуры и совершаются вновь вновь в эрозионном и выветриваниях рабочем времени и работах в камине, что позволяет изучить эрозионные и выветриваний работы.

В ходе данной практике и написании отчета я изучил новые методики ранее изложенные геоморфологические методы на курсе лекций по сейсморазведке.

Бригада 1

Даты: 04.06.08

N ^o /n	ПВ	Городка ПП	Каналы ст	N ^o Район	Число кв.	Очередь
1.	230	184-230	1-24	001	1	Общемикова
2.	184	184-230	1-24	002	5	Обр.
3.	138	184-230	1-24	003	5	Обр.
4.	92	184-230	1-24	004а	10	Обр.
5.	46	184-230	1-24	005	10	Обр.
6.	0	184-230	1-24	006	15	Обр.
7.	0	138-184	1-24	007	15	Обр.
8.	46	138-184	1-24	008	10	Обр.
9.	92	138-184	1-24	009	5	Обр.
10.	138	138-184	1-24	010	5	Обр.
11.	184	138-184	1-24	011	5	Обр.
12.	230	138-184	1-24	012	10	Обр.
13.	230	92-138	1-24	013	5	Обр.
14.	184	92-138	1-24	014	5	Бес.
15.	138	92-138	1-24	015	5	Обр.
16.	92	92-138	1-24	016	5	Обр.
17.	46	92-138	1-24	017	10	Обр.
18.	0	92-138	1-24	018	15	Обр.
19.	138	92-138	1-24	019	17	Обр.



X	$t_n(x)$	$t_B(x)$	$\Theta(x)$
92	46	138	46
94	47	138	47
96	49	137	50
98	51	136	53
100	53	135	56
102	55	134	59
104	57	133	62
106	59	130	67
108	61	129	70
110	62	126	74
112	64	125	82
114	68	124	84
116	69	123	88
118	72	122	93
120	73	118	95
122	74	117	96
124	74	116	96
126	74	114	102
128	75	113	105
130	77	112	107
132	79	110	109
134	79	108	111
136	80	107	113
138	80	107	114
140	82	107	117
142	82	106	122
144	83	104	122
146	86	102	124
148	86	100	126
150	86	98	128
152	87	97	131
154	88	95	133
156	88	93	134
158	88	92	138
160	91	91	140
162	91	89	143
164	91	87	145
166	93	86	146
168	94	86	148
170	95	85	150
172	95	83	153
174	97	82	154
176	98	82	157
178	101	81	159
180	102	81	162
182	104	80	161
184	106	82	162
186	106	82	164
188	108	82	167
190	111	80	170
192	112	80	171
194	113	79	172
196	113	77	175
198	114	77	180
200	116	74	181
202	116	73	184
204	118	72	186
206	119	71	186
208	121	67	192
210	123	64	197
212	123	63	198
214	125	62	201
216	128	58	208
218	128	56	200
220	130	54	204

x	$t_n(x)$	$t_b(x)$	$\theta(x)$
222	131	52	217
224	132	51	219
226	134	50	222
228	136	48	226
230	138	46	230

graph of $t_n(x)$ vs x with points

approximate values

for all values of x from 222 to

230, $t_n(x)$ is increasing

and $t_n(x) \approx t_b(x)$ for $x > 226$

graph of $t_b(x)$ vs x with points

approximate values

for all values of x from 222 to

230, $t_b(x)$ is decreasing

and $t_b(x) \approx t_n(x)$ for $x < 226$

graph of $\theta(x)$ vs x with points

approximate values

for all values of x from 222 to

230, $\theta(x)$ is increasing

and $\theta(x) \approx t_n(x)$ for $x > 226$

graph of $t_n(x)$ vs x with points

approximate values

for all values of x from 222 to

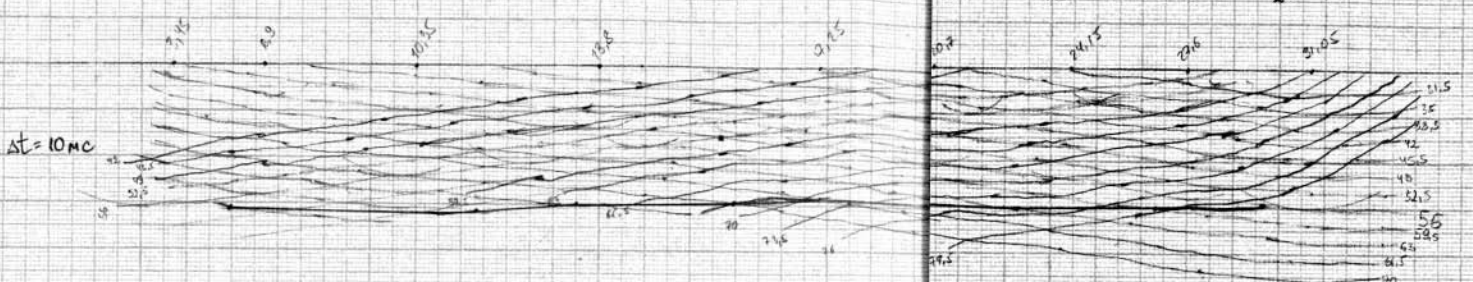
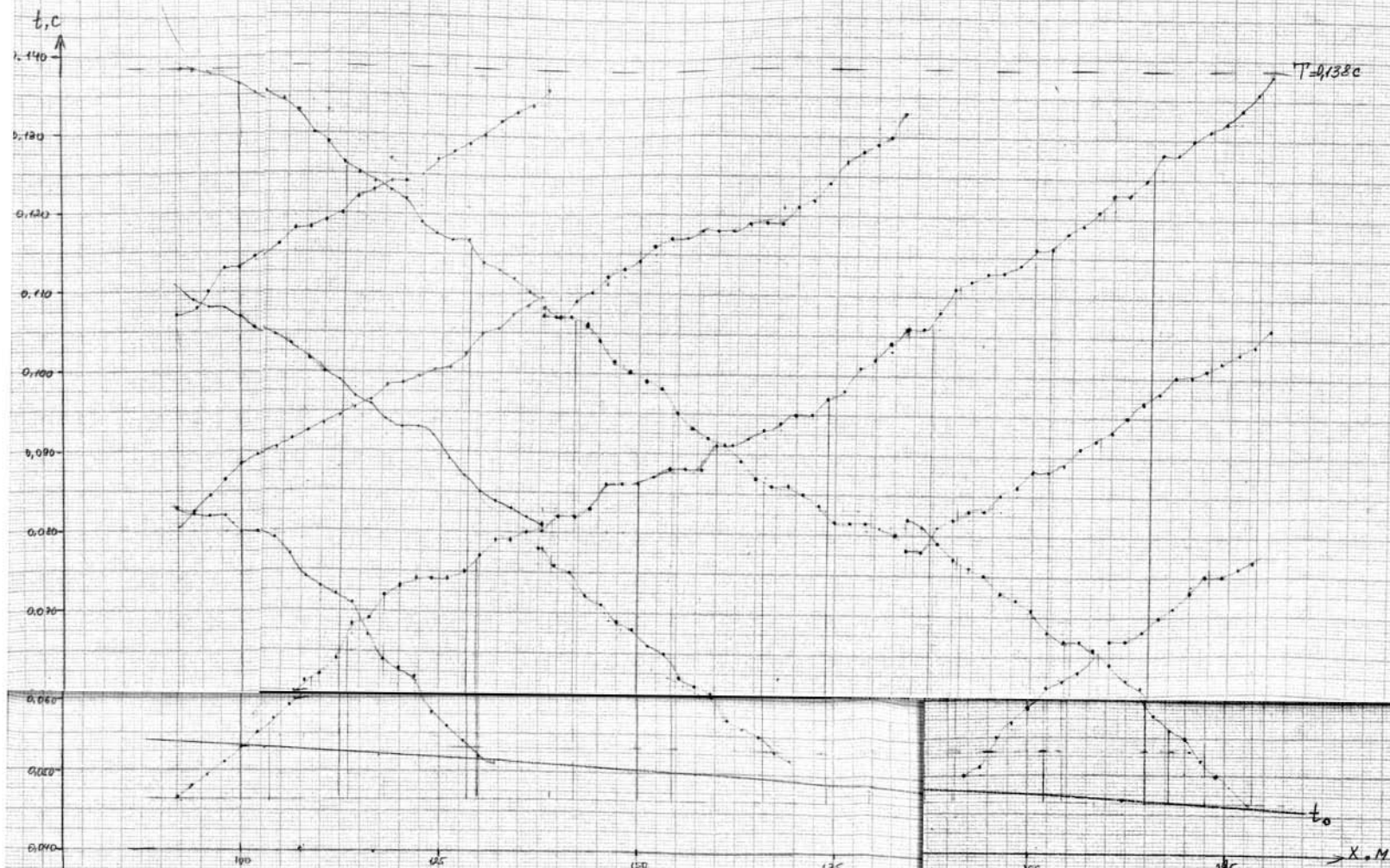
230, $t_n(x)$ is increasing

and $t_n(x) \approx t_b(x)$ for $x < 226$

graph of $t_b(x)$ vs x with points

approximate values

for all values of x from 222 to



Epurada 2

Распорядок оператора

03.06.2008г.

НЗ	НП	Каналы	Файл	2-0 нек- ни	Оператор
-1	0÷46	24-1	0001	5	Синицков В
47	0÷46	24-1	0002	5	Попов А
93 ⁺¹⁰	0÷46	24-1	0003	10	Синицков В
139 ⁺¹⁰	0÷46	24-1	0004	15	Чареба Г.
185 ⁺¹⁰	0÷46	24-1	0005	15	Синицков В
231 ⁺¹⁰	0÷46	24-1	0006	5	Синицков В.
231 ⁺¹⁰	46÷92	1-24	0007	10	Попов А
185 ⁺¹⁰	46÷92	1-24	0008	10	Синицков В.
139 ⁺¹⁰	46÷92	1-24	0009	15	Чареба Г.
92 ⁺¹⁰	46÷92	1-24	0010	5	Томасов А.
45 ⁻	46÷92	1-24	0011	5	Денисов Д.
45	92÷138	1-24	0014	5	Денисов Д.
91	92÷138	1-24	0015	5	Сенчуков А.
138	92÷138	1-24	0016	5	Денисов Д.
184	92÷138	1-24	0017	15	Сенчуков А.
230	92÷138	1-24	0018	15	Денисов Д.
148	148-15	1-24	00019	1	Денисов Д.

Методика полевых сейсморазведочных работ.

Наша была изучена и освоена на практике одно из методик сейсморазведочных работ. Для осуществление этого вида работ используется: следующее оборудование: сейсмостанция, коса, длиной 46 метров, сейсмоприемники, сигнальный приемник, ЭВМ, источник возбуждение сейсмических волн - кувалда, "Бам". Для разметки профиля могут использован геодезический прибор - лазерный дальномер. Длина профиля составляет 230 метров.

На профиль нанесен 6 пунктов взрыва, которые делают профиль на 5 равных участков. В начале работ раскладываем косу между первыми и вторыми пунктами взрыва. Подсоединяется к ней сейсмоприемники с интервалом в 2 метра. Вертикально заглубляем их в землю.

Включаем сейсмостанцию и подключаем к кей косу и ЭВМ. Для съемки полученной информации с сейсмостанции и вывода её на экран ЭВМ используется программное обеспечение "Диоген." Тестируем шумы рассстановки и восстанавливаем параметры активности рассстановки (координаты ПП, ПВ от начала профиля). Для удобства передачи информации по радио можно вовлечь пультов (в нашем случае это были: "Баклан 1" для бригады, производящей удары и "База" для станции).

Возле первого ПВ, отступая метр от косы заглубляем сигнальный приемник. Рядом кладем

"Блэк" по которому производится удар кувалдой.
Активный приемник всегда должен находиться
вблизи пульта взрыва. После выполнение необходимых
настроек программного обеспечения оператор даёт
команду произвести удар или серию ударов.

Увеличение числа ударов повышает внимание
сигнала к помехам. Это схоже с суммированием
сейсмограммы, полученной после каждого удара.

После того, как мы получили устраившуюся
на сейсмограмму (также довольно просматриваемое
изменение и преодоление волн) даём команду
о переходе на следующий пульт взрыва

Аналогичным образом проходим профиль (6 ПВ)
По завершении передаём код на следующий
участок профиля, так проходим весь профиль
Для того, чтобы лучше зафиксировать изменяющую
волну мы меняем положение косы и расстояние
между сейсмоприемниками (0,5 м)

При выполнении сейсморазведочных работ необходимо
соблюдать механику безопасности:

- 1) Перед переходом на следующий ПВ необходимо
отключить провод соединяющий связанный
приемник со сенсором;
- 2) Перед производением удара кувалдой необходимо
убедиться, что люди находятся на безопасном
расстоянии.

3) при переговорах по радио киевское засорение
7 днр.

Порядок работы.

- 1) Раскладываем усилительку
- 2) По команде от оператора даем команду произвести
одиночный удар или серию ударов
- 3) Производится серия ударов, в базе получаем
сейсмограмму на РВМ и сохраняем ее
- 4) Проверим расположение усилительки где регистрация
присоединяется.
- 5) Собираем усилительку.

Список приложений

Приложение 1. Продольный профиль, полученный при расстановке 1.

Приложение 2. Продольный профиль, полученный при расстановке 2.

Приложение 3. Продольный профиль, полученный при расстановке 3

Приложение 4. Продольный профиль, полученный при расстановке 3 (инверсируанный профиль)

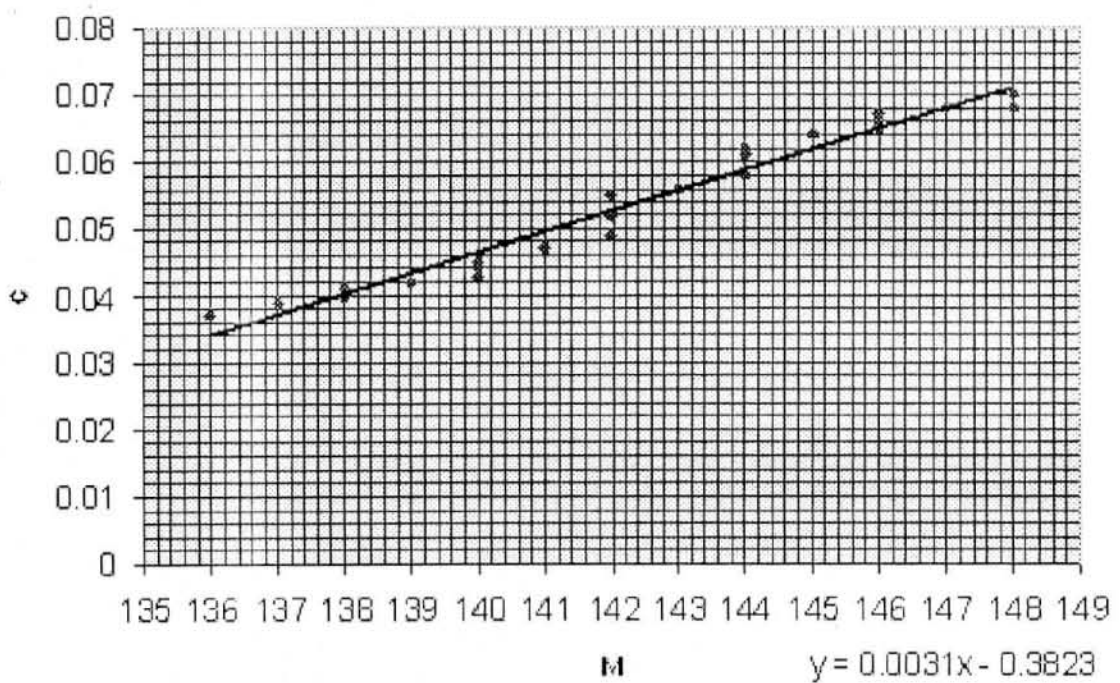
Приложение 5. Продольный профиль, полученный при расстановке 4

Приложение 6. Годограф первой волны

Приложение 7. Построение предполагаемой границы спектра полей времен и спектра средних арифметических величин

Приложение 8. Сводные годографы

Годограф прямой волны



$$V_{2\phi} = \frac{12M}{36mc} = 333,0 \text{ m/s}$$

$$V_+^* = \frac{V_{2\phi}}{\sin(i-\varphi)} \quad i-\varphi = \arcsin\left(\frac{V_{2\phi}}{V_+^*}\right)$$

$$V_-^* = \frac{V_{2\phi}}{\sin(i+\varphi)} \quad i+\varphi = \arcsin\left(\frac{V_{2\phi}}{V_-^*}\right)$$

kennt man

$$V_+^* = \frac{(92-46)_{14}}{30 \text{ m/s}} = 1533 \text{ m/s}$$

$$V_-^* = \frac{(92-46)_M}{36 \text{ m/s}} = \frac{46M}{36 \text{ m/s}} = 1277 \text{ m/s}$$

$$i-\varphi = \arcsin\left(\frac{333}{1533}\right) = \arcsin(0,217) \approx 12,5^\circ$$

$$i+\varphi = \arcsin\left(\frac{333}{1277}\right) = \arcsin(0,261) \approx 15,5^\circ$$

$$\begin{cases} i-\varphi = 12,5 & \varphi = 1,5^\circ \\ i+\varphi = 15,5 & i = 14^\circ \end{cases}$$

gesuchtes

$$V_{2\phi} = \frac{V_{2\phi}}{\sin i} = \frac{333}{0,24} = 1387 \text{ m/s}$$

$$\Theta(x) = t_n(x) - t_B(x) + T$$

~~$$\Theta = t_o = t_{np} + t_B - T$$~~

$$\cos 1,5 \approx 1$$

$$\frac{\Delta \Theta}{\Delta x} = 2 \frac{\cos \varphi}{V_{2\phi}}$$

$$V_{2\phi} = \frac{2 \Delta x}{\Delta \Theta}$$

$$V_{2\phi} = \frac{2 \cdot 112_{14}}{(217-67)_{14c}} = \frac{224}{0,95c} = 1493 \text{ m/s}$$

$$\Theta(x) = t_n(x) - t_B(x) + \tau$$

$$\frac{\Delta \Theta}{\Delta x} = 2 \frac{\cos \varphi}{V_y}$$

$$V_y = 2 \frac{\Delta x}{\Delta \Theta}$$

$$V_y = \frac{\Delta L}{\Delta t}$$

$$t_0 = t_{xy} + t_B - \tau$$

$$h = \frac{t_0 \cdot V_{y\varphi}}{2 \cos i}$$

